

# **ДИСТАНЦИОННЫЙ АНАЛИЗ ВЕЩЕСТВ С ПРИМЕНЕНИЕМ ДИНАМИЧЕСКОГО ФУРЬЕ-СПЕКТРОМЕТРА**

*с.н.с., д.ф.-м.н. Голяк И.С.<sup>1</sup>, г.н.с., д.т.н. Балашов А.А.<sup>1, 2</sup>,  
д.ф.-м.н., проф. Морозов А.Н.<sup>1, 2</sup>, инж. Хорохорин А.И.<sup>1, 2</sup>*

<sup>1</sup> АО «Центр прикладной физики МГТУ им. Н.Э. Баумана»

<sup>2</sup> Научно-технологический центр уникального приборостроения РАН  
*iliyagol@mail.ru*

В работе описан макет динамического фурье-спектрометра для регистрации спектров комбинационного рассеяния света (КРС) в спектральном диапазоне 800 - 1100 нм при возбуждении лазерным источником с длинной волны  $\lambda = 785$  нм. В спектрометре реализован канал белого света для проведения суммирования интерферограмм по нескольким сканам и референтный канал с частотой дискретизации  $\lambda/4$ . С использованием разработанного статического макета были проведены эксперименты по регистрации спектров КРС тестовых веществ и рассчитаны отношения сигнал / шум. В работе приводятся спектры КРС 1,4-бис(5-фенил-2-оксазолил) бензола (POPOP,  $C_{24}H_{16}N_2O_2$ ), ацетилсалациловой кислоты ( $C_9H_8O_4$ ) зарегистрированные на динамическом фурье-спектрометре на расстоянии 100 мм.

**Ключевые слова:** комбинационное рассеяние, дистанционный анализ, динамический фурье-спектрометр, угловые отражатели

В работе рассмотрена возможность использования динамического фурье-спектрометра для дистанционной регистрации и восстановления спектров КРС веществ в спектральном диапазоне 800 – 1100 нм. Для возбуждения спектров КРС используется лазерный источник с длинной волны  $\lambda = 785$  нм и спектральной шириной  $\Delta\lambda = 0,2$  нм [1-3].

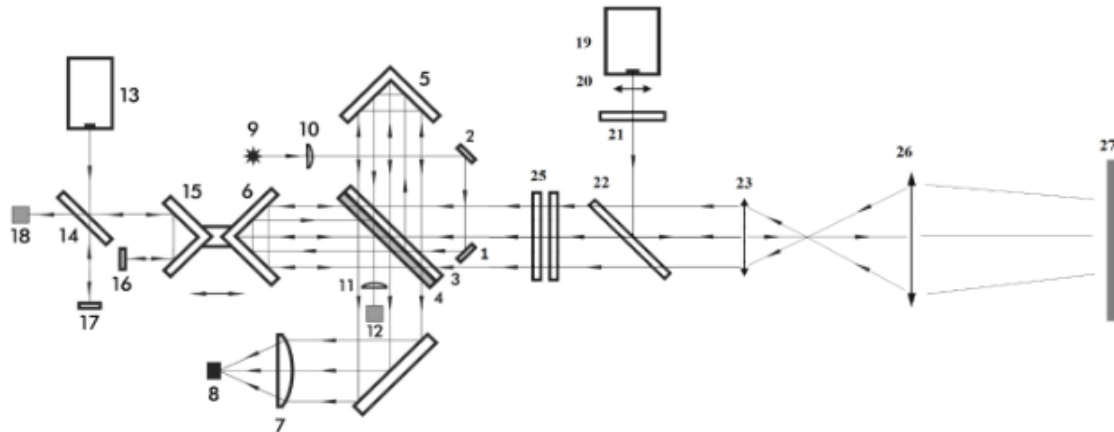
Основным элементом разработанного макета прибора является интерферометр Майкельсона, в котором в качестве отражателей в плечах интерферометра используются зеркальные триэдры с угловой апертурой 2,5 дюйма и угловым отклонением 1° [4, 6]. Один триэдр установлен на подвижной каретке, перемещающейся посредством двигателя магнитоэлектрического типа. В качестве линейной направляющей использована направляющая LM с шариковым сепаратором. В референтном канале реализована система позволяющая измерять разность хода с частотой  $\lambda/4$ , что приводит к увеличению точности

дискретизации. Для накопления и суммирования интерферограмм по нескольким сканам, с целью увеличения отношения сигнал / шум, реализован канал белого света.

Спектрометр состоит из четырех основных частей [5-7]:

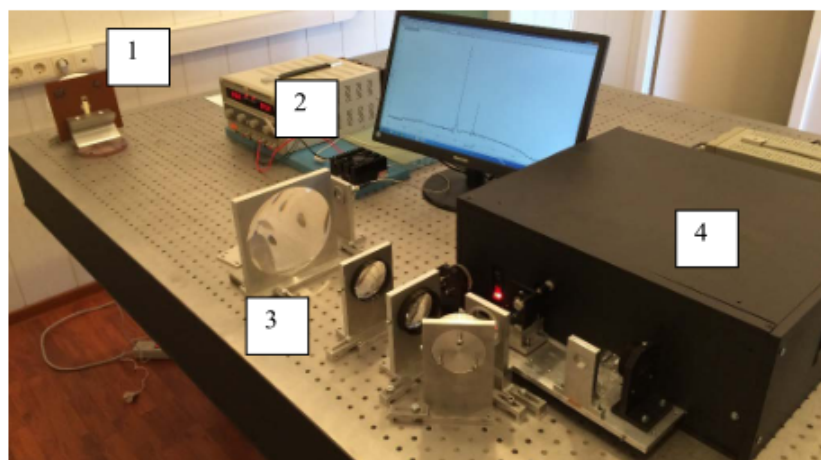
- измерительного (основного) канала, который предназначен для измерения исследуемого излучения и формирования модулируемого сигнала в виде интерферограмм на приемнике;
- канала «белого света» [5], который осуществляет точную привязку по шкале оптической разности хода, измеряемых интерферограмм;
- референтного канала, измеряющего оптическую разность хода в интерферометре;
- рамановской приставки, предназначеннной для фокусирования излучения от лазерного источника на исследуемом образце и сбора, фильтрации и формирования параллельного потока на входе спектрометра [7].

Оптическая схема динамического фурье-спектрометра для дистанционной регистрации спектров КРС представлена на рисунке 1.



**Рис. 1. Оптическая схема рамановского фурье-спектрометра.** 1, 2, 3, 16, 17 – плоские зеркала; 4 – светоделитель; 5, 6 – триэдры; 7, 11, 23 – фокусирующие линзы; 8 – приемник излучения основного канала; 9 – излучатель канала белого света; 10, 20 – расширяющая линза; 12 – приемник канала белого света; 13 – лазер 632 нм; 14 – светоделитель референтного канала; 15 – диэдр; 18 – приемник референтного канала; 19 – лазер 785 нм; 21 – полосовой фильтр; 22 – дихроичный фильтр; 24 – образец; 25 – длинноволновые фильтры; 26 – телескопический объектив, 27 – исследуемое вещество.

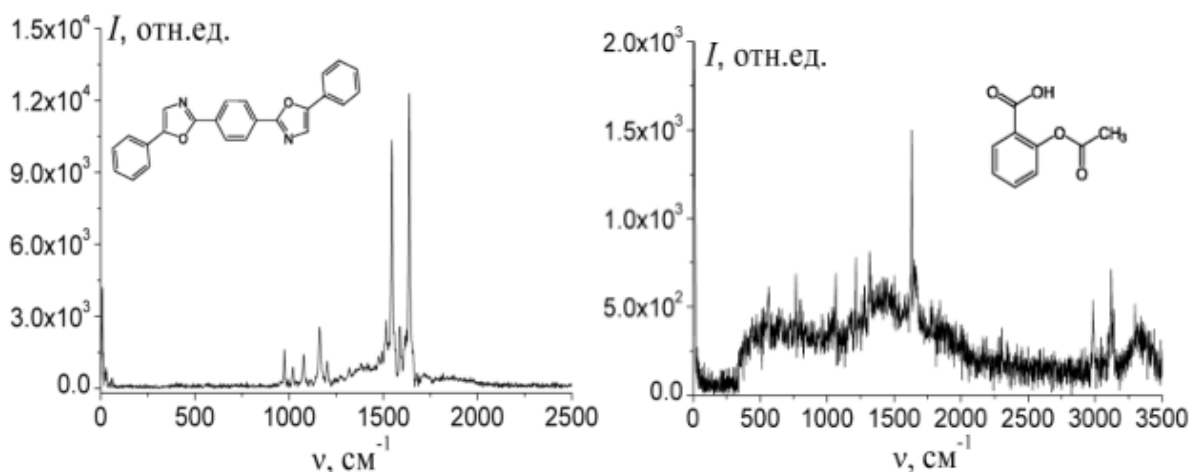
Внешний вид динамического фурье-спектрометра представлен на рисунке 2. Входная угловая апертура спектрометра равняется 4 град. Размер области фокусируемого излучения от 10 мм. Дистанция до объекта составляет 100 мм.



**Рис. 2. Внешний облик динамического фурье-спектрометра.** 1 – исследуемое вещество, 2 – лазер 785 нм, 3 – система фокусировки и сбора КРС, 4 – динамический фурье-спектрометр.

На рисунке 3 представлены экспериментальные спектры КРС веществ (POPOP и ацетилсалициловой кислоты), полученных на динамическом фурье-спектрометре (рисунок 1 (а) и рисунок 1 (б)) при возбуждении лазером с длинной волны  $\lambda = 785$  нм и мощностью 1500 мВт. Спектры КРС были зарегистрированы при усреднении по 16 сканам и с экспозицией 0,25 с в одном скане.

На приведенных спектрах КРС наблюдаются отдельно выраженные максимумы излучения. Основные спектральные линии КРС POPOP находятся на следующих частотах  $\nu$ : 1606  $\text{cm}^{-1}$ , 1561  $\text{cm}^{-1}$ , 1515  $\text{cm}^{-1}$ , 1487  $\text{cm}^{-1}$ , 1481  $\text{cm}^{-1}$ , 1140  $\text{cm}^{-1}$ , 1178  $\text{cm}^{-1}$ , 1054  $\text{cm}^{-1}$ , 1000  $\text{cm}^{-1}$ , 954  $\text{cm}^{-1}$ . Положения основных максимумов в обоих спектрах совпадают, при этом для некоторых линий есть небольшая ошибка, которая связана со спектральным разрешением и дискретностью простановки волновых чисел. Основные максимумы излучения КРС ацетилсалициловой кислоты лежат на частотах  $\nu$ : 3068  $\text{cm}^{-1}$ , 2936  $\text{cm}^{-1}$ , 1604  $\text{cm}^{-1}$ , 1297  $\text{cm}^{-1}$ , 1042  $\text{cm}^{-1}$ , 748  $\text{cm}^{-1}$ , 552  $\text{cm}^{-1}$ . Положение максимумов зарегистрированных спектров излучения соответствует частотам эталонных спектров [56].



*Рис. 3. Спектры КРС тестовых веществ.*

Спектры КРС ацетилсалициловой кислоты оказывается более зашумленным по сравнению со спектрами КРС POPOP и стильбена, что объясняется его меньшим сечением рамановского рассеяния.

Рассчитанное отношение сигнал / шум для спектра КРС POPOP составляет 307, а для спектра КРС ацетилсалициловой кислоты 34.

### Выводы

Была собрана и настроена система для дистанционной регистрации спектров КРС. С применением предложенного динамического фурье-спектрометра были зарегистрированы спектры КРС POPOP и ацетилсалициловой кислоты на дистанции 100 мм.

Настоящая работа выполнена при поддержке гранта РФФИ № 16-29-09625.

### Список литературы

- Vandenabeele P. Practical Raman Spectroscopy: An Introduction. John Wiley & Sons. 2013. 161 p.
- Smith E. Dent G. Modern Raman Spectroscopy: A Practical Approach. John Wiley & Sons. 2005. 202 p.
- Griffiths P.R., De Haseth J.A., Winefordner J.D., Fourier Transform Infrared Spectrometry. 2nd Edition, Wiley, 2007. 560 p.
- Васильев Н.С., Голяк Ил.С., Голяк Иг.С., Есаков А.А., Морозов А.Н., Табалин С.Е. Статический фурье-спектрометр для проведения экспресс-анализа химических веществ // Приборы и техника эксперимента. 2015. № 1. С. 181–182.
- Винтайкин И.Б. Рамановский спектрометр на основе статического интерферометра Майкельсона / И.Б. Винтайкин, Н.С. Васильев, Ил.С. Голяк, Иг.С. Голяк, А.А. Есаков, А.Н. Морозов, С.И. Светличный, С.Е. Табалин, И.Л. Фуфурин // Известия РАН. Энергетика. 2016. № 6. С. 144–152.
- Морозов А.Н., Светличный С.И. «Основы фурье-спектрорадиометрии», 2-е изд., испр. и доп., М.: Наука, 2014. 456 с.
- A. A. Balashov, Il. S. Golyak, Ig. S. Golyak, A. N. Morozov, I. N. Nesteruk, A. I. Khorokhorin. Multichannel Dynamic Fourier-Transform IR Spectrometer/ Journal of Applied Spectroscopy, 2017, V. 84, №. 4, pp 664–667
- Балашов А.А. Раман-спектрометр на основе динамического фурье-спектрометра видимого и ближнего ИК диапазона / В.А. Вагин, Ил.С. Голяк, А.Н. Морозов, И.Н. Нестерук, А.И. Хорохорин // Физические основы приборостроения. 2017. Т. 6. №3. С. 83–89.
- A. A. Balashov, Il. S. Golyak, Ig. S. Golyak, A. N. Morozov, I. N. Nesteruk, A. I. Khorokhorin. Recording Raman Spectra Using a Dynamic Fourier Transform Spectrometer/ Journal of Applied Spectroscopy, 2018, V. 85, № 5, pp 923–930.